АСТРОФИЗИКА

TOM 19

НОЯБРЬ, 1983

ВЫПУСК 4

УДК 524.7

СВЕРХАССОЦИАЦИИ В СПИРАЛЬНЫХ ГАЛАКТИКАХ С УЛЬТРАФИОЛЕТОВЫМ ИЗБЫТКОМ. I

А. Р. ПЕТРОСЯН, К. А. СААКЯН, Э. Е. ХАЧИКЯН

Поступила 20 декабря 1982. Принята к печати 30 мая 1983

Приведены результаты морфологического исследования спирильных галактик с УФ-избытком, содержащих яркие сгущения— сверхассоциации (СА). Отбор галактик был произведен из первых четырнадцати списков объектов с УФ-конгинуумом на основе снимков, полученных на 0.5-м и 2.6-м телескопах Бюраканской обсерватория. В итоге составлен список 56 галактик, содержащих СА. Представлены фотографии 26 из указанных 56 галактик и дано их описание. Определены размеры, яркости СА и ядер и отдаленность СА от центра галактики.

1. Введение. В работе [1] было обращено внимание на тот факт, что среди галактик с УФ-континуумом встречаются несколько разновидностей. Около 40 объектов, представляющих из себя сверхассоциации, физически связанные с близлежащими галактиками, были исследованы в [1]. Опубликованы списки около 70 галактик [2, 3] с двойными или кратными ядрами. В [1] было отмечено также, что некоторые галактики Маркаряна сами содержат яркие сгущения.

В пионерской работе В. А. Амбарцумяна и его сотрудников [4] были исследованы яркие сгущения в спиральных галактиках. Согласно втой работе в этих галактиках могут существовать как голубые, так и желтые и красные стущения. Авторы [4] показали, что сгущения с $M < -14^m$ 0, подобно 30 Золотой Рыбки в БМО, образуют специальный класс объектов, которые и были названы ими сверхассоциациями (СА). Часто в литературе, в особенности за рубежом, вместо «сверхассоциаций» используется термин «гигантская Н II-область».

Наличие сверхассоциаций — нередкое явление в мире галактик, и я этом отношении галактики из списков Маркаряна не являются исключением. Но имеется и существенное отличие—если в обычных галактиках СА чаще встречаются в спиральных системах, то СА в ультрафиолетовых

галактиках встречаются почти одинаково часто во всех морфологических типах галактик.

В настоящей статье приведены результаты морфологического исследования галактик с УФ-избытком со спиральной структурой, которые содержат в себе яржие сгущения— сверхассоциации. Отбор галактик производился из первых четырнадцати списков Маркаряна. Определены размеры, яркости сверхассоциаций и их расстояния в проекции от центра галактики. В итоге составлен список 56 галактик, содержащих 151 сверхассоциацию.

2. Наблюдательный материал и его обработка. Наблюдательный материал был получен в основном на 2.6-м и 0.5-м телескопах Бюраканской обсерватории. Снимки в большинстве случаев получены в синих лучах без фильтра.

Общее число исследованных галактик составляет 950. На снимках 2.6-м телескопа изучены 396, а на 0.5-м — 807 галактик. Число СА, выявленных на снимках 2.6-м телескопа, составляет 139, а на снимках 0.5-м телескопа,

лескопа — 12.

3. Отбор галактик. При изучении галактик с УФ-избытком выяснилось, что СА содержатся не только в спиральных, но и в эллиптических и линзовидных галактиках. В данной работе, как уже отмечалось выше, рассмотрены лишь спиральные галактики.

Стущение рассматривается как СА, если оно

- а) имеет пробливительно сферическую форму и по яркости ненамного уступает ядру;
- б) расположено в экваториальной плоскости галактики (согласно [5] сферические, компактные объекты, наблюдаемые на продолжении экваториальной плоскости сильно наклоненной галактики, с большой вероятностью физически связаны с галактикой), на рукаве близко к нему или на его продолжении;
- в) связано с ядром галактики посредством филаментов, мостов, струей;
- г) на картах ПА имеет голубой цвет. Если сгущение морфологически связано с галактикой, но имеет очень красный цвет (CI > +1.70), оно не принималось во внимание.

В настоящей работе не рассмотрены те случаи, когда галактика Маркаряна фактически сама является СА в другой галактике, поскольку они уже были рассмотрены в работе [1].

Так как критерии отбора СА являются почти полностью морфологическими, то в дальнейшем выяснилось, что некоторые СА имеют светимость ниже, чем предел, определенный в [4] как — 14^m 0 (при H=75 км/с Мпс). вплоть до $M_{PS} \sim -11^m$. Таким образом, кроме СА в выборку вошли

также яркие ассоциации. Отличаются ли по природе эвездные ассоциации. скажем с $M \sim -12^m \div -13^m$, от СА—трудно сказать определенно. Вопрос требует специального исследования. Что же касается верхнего предела для светимости СА, то тут пока ограничений не вводилось.

В столбцах таблицы 1 соответственно приведены: номера талактик по Маркаряну; порядковый номер СА в данной галактике, соответствующий номеру на карте отождествления, эти номера в большинстве случаев приведены по порядку убывания яркости СА; в столбцах 3 и 4 приведены видимые и абсолютные величлыы соответственно ядра, СА и галактики (здесь и далее принято $H=75~{\rm km/c~Mnc}$); в пятом столбце таким же образом приведены цвета ядер, СА и галактики; в столбцах 6 и 7 — соответственно размеры ядра, СА и галактики в секундах дуги и в килопарсеках; в столбцах 8 и 9 приведено расстояние СА от ядра галактики в секундах дуги и в килопарсеках; в 10 — отношение расстояний СА от ядра галактики к оптическому радиусу галактики.

4. Определение звездных величин. Звездные величины СА и ядер оценены глазомерно. Определение звездных величин СА и ядер, даже при применении тонких фотометрических методов, является весьма трудным делом, так как в большинстве случаев они имеют диффузный вид и наблюдаются на относительно ярком фоне. Поэтому звездные величины, оцененные глазомерно, являются лишь нижним пределом для них.

Все выбранные галактики были просмотрены на картах ПА. В тех случаях, когда СА расположена в непередержанной области галактики, ее яркость и цвет оценивались глазомерно, путем сравнения их со звездами какой-либо стандартной области (в основном в качестве стандартов были использованы звезды скопления МЗ [6]). Для оценки яркости СА и ядра, находящейся в передержанной части, в каждом случае около галактики выбирались две звезды: одна ярче, другая слабее СА или ядра, после чего яркости выбранных звезд оценивались вышеописанным методом на ПА, затем с их помощью оценивалась яркость СА и ядра на пластинке 2.6-м или 0.5-м телескопа. Ошибки при таком способе оценки звездных величин могут достигать 0.6.5.

5. Ивмерения размеров. Измерения размеров СА, ядер и расстояний СА от ядра проводились на «Аскорекорде» Бюраканской обсерватории. В тех немногих случаях, когда СА или ядро имели несферическую форму, измерялся и приведен их максимальный размер. Размеры части галактик заимствованы из Морфологического каталога Воронцова-Вельяминова [7], при этом взяты их максимальные размеры. Размеры слабых галактик измерены нами на снимках 2.6-м телескопа.

Таблица 1 Звездная Расстояние Отношение Размеры СА от ядра ВЕХИЧИНА расстояния Цвет СА от ядра mpg m, B cex. B cek. R к радиусу Mpg mpg дуги RIIC AYFR кпс FRARKTHKE 2 4 6 7 8 9 10 . 3 5 1 16"5 -17^m9 6.7 2.5 Maps. 2 ядро CA₁ 19.8 -14.60.6 4.0 1.4 13.9 5.1 0.77 -14.0 0.6 CA₂ 20.4 3.2 1.2 15.2 5.6 0.83 0.6 13.2 14.0 Tax. -20.436 17.0 -16.76.2 1.7 4 ядро CA1 19.0 -14.7 0.2 3.1 0.8 9.1 2.4 0.18 0.0 CA₂ 18.8 -14.94.6 1.2 9.8 0.72 37.0 CA₃ 18.9 -14.8 0.0 5.2 34.5 9.2 0.67 1.4 14.0 -19.7Γax. 102 27.1 16.0 -17.712 ядро 6.3 1.7 CA₁ 18.5 -15.20.4 19.5 -14.20.4 CA2 0.2 CA₃ -13.819.9 CA4 19.9 -13.8 0.1 CA₅ 18.3 -15.40.0 -16.7 CA6 17.0 -0.16.4 1.7 11.6 3.1 0.35 -20.2 Fax. 13.5 0.5 66 17.6 -14.717.0 5.9 0.6 13 ядро -13.2CA₁ 18.5 0.2 4.0 0.4 26.7 2.8 1.29 - 11.2 CA₂ 20.5 0.4 5.0 0.5 14.6 1.6 0.71 -15.20.6 Tax. 15.5 42 4.4 -18.39.5 5.2 17.7 21 ядро -16.3 2.5 16.7 9.2 0.79 CA1 19.0 0.2 4.4 CA₂ 19.2 -16.10.2 8.0 4.4 39.7 22.0 1.89 -19.30.8 42 23.2 Гал. 15.5 -18.32.6 38 ядро 17.5 3.8 -16.80.18 CA1 19.0 3.1 2.2 4.4 3.0 -19.833.3 Γaλ. 16.0 48 17.0 -18.45.2 3,0 109 ядро -16.6 0.3 0.89 18.8 4.3 2.6 10.6 6.2 CA₁ 0.39 -17.2CA₂ 18.2 2.9 1.7 4.6 2.7 19.3 -16.1 2.3 5.8 3.4 0.49 CA₃ 3.9 -19.4 Tax. 16.0 24 14.1

Таблица 1 (продолжение)

		E -		100			Ταδλυμ	родолжение)	
1	2	3	4	5	6	7	8	9	10
Марк. 122	ядро	17"2	_17.75		4.5	1.9	(2)	- "-"	- 10
,,,,,,,,,,,,,,,,,,,,,,,,,,,,,,,,,,,,,,	CA1	19.0	-15.7	-0.2	3.7	1:6	23.0	9.8	0.59
	CA2	19.0	-15.7	-0.2	4.4	1.9	22.4	9.5	0.57
	CA3	19.0	-15.7	-0.1	5.5	2.3	18.1	7.6	0.46
14.0	CA4	18.2	-16.5		4.8	2.0	10.4	4.4	0.27
	Гал.	14.0	-20.7	1 - 120	77	33	2- 1		741
161	ядро	17.0	-17.5	13.	5.8	2.2	5	1	100
	CA1	19.6	-14.9		2.8	1.1	8.1	3.1	0.39
	CA2	18.7	-15.8	+- 3	3.2	1.2	9.5	3.7	0.46
	Гал.	13.5	-21.0	0.5	42	16.1			
170	ядро	17.3	-13.4		3.2	0.2	- 2		
	CA1	17.5	-13.2	-0.2	3.2	0.2	21.4	1.5	0.75
	CA2	18.7	-12.0	0.9	3.5	0.2	27.2	1.9	0.95
200	CA3	17.5	-13.2		2.9	0.2	5.0	0.3	0.17
	CA4	17.3	-13.4	- 2.	5.0	0.3	3.4	0.2	0.12
4	Гах.	16.0	-14.8	0.6	57	3.9	11110	33.61	
175	ядро	16.0	17.5	*	-83		100		+ 1 1 1 1 1 1 1 1 1 1 1 1 1 1 1 1 1 1 1
	CA1	18.7	-14.8		1 +		. 6	200	
	Гах.	14.5	-19.0	0.9	66	15.9	13	-	17 17 8
181	ядро	17.6	-17.0		3.2	1.3	. 334	11/1/2	
- 100	ядро	17.8	-16.8		2.8	1.1			
	CA1	19.3	-14.8	-	2.3	0.9	7.6	3.0	0.51
	CA2	19.8	-14.3	-	2.6	1.0	5.5	2.2	0.37
1	Гах.	14.5	-19.6	0.5	30	11.9			
183	ядро	17.3	-18.8		6.9	5.5			11365
	CA1	19.8	16.3	0.1	4.9	3.9	10.5	8.3	0.69
	Гах.	15.5	20.6		30	23.9	193		100
185	ядро	15.0	-18.1		6.6	1.3		30	
	CA1	18.2	-14.9	0.2	5.8	1.2	27.1	5.4	0.45
	CA2	18.9	-14.2	0.4	5.7	1.1	37.0	7.4	0.62
	CA3	18.4	-14.7	10-100	5.9	1.2	23.5	4.7	0.39
1000	CA4	18.6	-14.5	"	9.8	1.9	22.8	4.6	0.38
4 9 4	Гал.	13.0	-20.1	9.6	120	23.9			1 1 118
186	ядро	17.4	-12.4	0.5	3.0	0.1	1 13	- 13	BOE B
1	ядро	16.4	-13.4		3.7	0.2	4		170018
1 1 1 1	CA1	19.0	-10.8	C.3	4.0	0.2	19.8	0.9	0.65
	100	-							

Таблица 1 (продолжение)

1	2	3	4	5	6	7	8	9	0F
Марк. 186	CA2	18.73	- 11 ^m 5	10 6	3.5	0.2	9.5	0.4	0.31
Mapa. 100	CA3	18.7	-11.1		3.7	0.2	9.7	0.4	0.32
	Гал.	13.5	-16.3	0.5	60	2.7	20		
188	ядро	16,0	-16.6	-3,5	7.8	1.3	-	+	
100	CAI	17.8	-14.8		2.4	0.4	14.5	2.3	0.28
1.5.	CA2	18.0	-14.6		4.0	0.6	23.5	3.8	0.46
	CA3	18.2	-14.4		4.4	0.7	15.5	2.5	0.28
	CA4	18.0	-14.6		5.0	0.8	19.1	3.1	0.37
	CA5	18.2	-14.4		3.7	0.6	10.8	1.7	0.21
	CA6	18.5	-14.1	0.8			777	5.	- 1
	CA7	18.5	-14.1	-0.2			-		
	CA8	19.0	13.6	0.1					
	CA9	19.8	-12.8	-0.1				200	
	CA10	20.2	-12.4	0.3		4.5		Y -1	
	CA11	19.8	12.8	-0.1	(1)	*	- 41		
1000	CA12	19.7	-12.9	-0.1			-	7.	
	CA13	19.5	-13.1	-0.2^{-}			1		
	CA14	20.1	-12.5	-0.1		200	3		
3 1 1 2	Гал.	13.0	-19.6	0.6	102	16.5	17-		
207	ядро	15.5	-18.3		7.6	2.2			
	CA1	17.5	-16.3		6.3	1.8	13.3	3.8	0.46
	Гал.	13.5	-20.3	0.5	72	20.4			
264	ядро	17.8	-19.2		4.4	5.3	3		
	CA1	19.5	-17.5		3.8	4.6	5.5	6.0	0.53
	CA2	19.7	-17.3		3.0	3.7	4.9	5.9	0.52
	Гал.	17.0	-20.0		18.8	22.8	4	100	
281	ядро	16.9	-15.6		4.0	0.6			
	ядро	18.0	-14.5		2.1	0.3	3 -		
	ядро	16.6	15.9		4.0	0.6			
	CA1	18.5	-14.0	0.2	5.6	0.8	56.6	8.6	0.75
	CA2	18.6	-13.9	-0.2	6.8	1.0	52.6	8.0	0.70
	CA3	18.2	-14.3	0.3	6.2	0.9	50.0	5.8	0.51
	CA4	18.5	-14.0	0.1	5.0	0.7	49.9	7.6	0.66
	Гал.	13.0	-19.5		150	22.8		0.	
288	ядро	18.0	-17.0		8.0	4.0		1 34	1000
	CA1	19.0	-16.0		4.8	2.4	16.3	8.1	0.83
	Гал.	15.0	-20.0		39	19.3			200

1 2 3 4 5 6 7 8 9 Mapr. 307	0.38 0.48
CA1 17.7 -16.7	
CA1 17.7 -16.7	
CA3	0.48
CA4 19.5 -14.9	
312	0.51
312 RAPO 18.2 -17.4 -16.4 CA2 19.0 -16.6 CA2 19.0 16.0 -19.6 0.6 20 13 13.9 CA1 18.7 -16.5 4.0 2.1 9.8 5.3 5.3	0.32
CA1 19.2 -16.4 -16.6 Γαλ. 16.0 -19.6 0.6 20 13. 319 RAPO 16.8 -18.4 5.3 2.9 CA1 18.7 -16.5 4.0 2.1 9.8 5.3	
CA2 19.0 -16.6 20 13 319 RAPO 16.8 -18.4 5.3 2.9 2.1 9.8 5.3	
319 Γαλ. 16.0 -19.6 0.6 20 13 5.3 2.9 CA1 18.7 -16.5 4.0 2.1 9.8 5.3	
319 RAPO 16.8 -18.4 5.3 2.9 4.0 2.1 9.8 5.3	- 1
CA1 18.7 -16.5 4.0 2.1 9.8 5.3	
	1,0
CA2 18.7 -16.5 5.1 2.8 8.6 4.7	0.82
	0.72
Гал. 15.5 -19.7 0.7 48 26	
321 ядро 17.5 —18.1 8.2 5.2	
CA1 18.8 -16.8 3.7 2.3 10.0 6.4	0.34
CA2 19.5 -16.1 3.4 2.2 11.0 6.9	0.37
Гал. 14.5. —21.1 0.6 58.8 37.2	
323 ядро 17.2 -16.8 4.6 1.4	500
CA1 19.2 -14.8 3.3 1.0 11.4 3.5	0.48
Гал. 15.5 -18.5 0.8 48 14.6	
332 RAPO 15.5 -17.4 6.7 1.3	
CA1 18.0 -14.9 0.2 6.6 1.3 14.2 2.6	0.43
CA2 17.8 -15.1 6.3 1.2 11.5 2.1	0.34
CA3 19.4 —13.5 3.2 0.6 14.4 2.7	0.43
CA4 19.8 -13.1 2.8 0.5 12.8 2.4	0.39
CA5 19.2 -13.7 4.3 0.8 10.8 2.0	0.33
CA6 19.6 -13.3 4.4 0.8 11.1 2.1	0.34
CA7 19.8 -13.1 2.2 0.4 8.5 1.6	0.26
CA8 20.0 -12.9 3.6 0.7 17.0 3.2	
Гал. 13.0 -19.9 0.7 66 12.3	0.51
	0.51

Ниже приводится описание 26 из отмеченных 56 галактик. После названия галактики в скобках приведены соответстве; но: морфолотический класс галактики согласно Вокулеру; характеристика спектра согласно Маркаряну; ее лучевая скорость по литературным данным. В конце работы приведены фотографии 24 из описанных 26 галактик с указанными СА. На фотографиях север сверху, восток слева. Масштаб ~ 2" на мм.

Маркарян 2 (SBa, s12, 5682 км/с) — От яркого звездообразного ядра выходят слабые спиральные рукава, которые, сливаясь с интенсивным фоном околоядерной области галактики, сбразуют яркий внутренний диск. На ПА видно, как из этого диска выходят тонкие, четкие рукава. На восточной ветви расположены две СА. На западной ветви СА отсутствуют.

Маркарян 4 (SBc, sd 12 (e), 4110 км/c) — Вокруг перемычки на снимках 2.6-м телескопа и на ПА видна кольцевая структура. Спиральные рукава выходят из кольца, а не от концов перемычки. Кольцо расположено симметрично относительно перемычки. Имеются три СА: одна из них находится внутри кольца — очень близко к звездообразному ядру, но вне вкваториальной плоскости перемычки. Две другие СА находятся в том месте, тде спиральный рукав отходит от кольца. Эти СА отмечены в работе [8].

Маркарян 12 (SBb, d2, 4140 км/с) — Ядро звездообразное. Самое яркое и голубое сгущение, согласно [9], является классическим примером СА. На ПА, помимо упомянутого сгущения, видны еще пять сгущений, четыре из которых расположены на одной ветви. Кроме этого еще одно сгущение находится вне видимой внешней ветви. Наличие сгущений отмечено в [10].

Маркарян 13 (SBc, sd 1 (e), 1650 км/c) — Согласно [11] состоит из двух компактных сгущений. Через яркое звездообразное ядро проходит слабая перемычка, вокруг которой имеется плотная, однородная оболочка, в которой и расположены два сгущения. Согласно [9] все сгущения ярче в лучах В.

Маркарян 21 (SBb, sd 2, 8570 км/с) — Вытянутая галактика с ярким звездообразным ядоом. Симметрично относительно ядра расположены две СА. Западная СА более компактна, восточная — имеет большие размеры и диффузный вид. Согласно [12] является галактикой с перемычкой, что подтверждается нашими наблюдениями.

Маркарян 38 (SBb, sd 2, 10730 км/с) — Ядро звездообразное. Спиральные рукава не похожи друг на друга. СА расположена к югу от ядрана конце перемычки, откуда берет начало прямолинейный, более яркий спиральный рукав. Галактика составляет физическую пару с Маркарян 39.

Заметим, что между ними и вокруг них имеются несколько голубых сгущений, почти не отличающихся от звезд.

Маркарян 109 (SBc, d 3, 9116 км/с) — Ядро звездообразное. Спиральные ветви выходят из перемычки под прямым углом. На концах перемычки расположены две СА. На одном из спиральных рукавов находится отмеченное Маркаряном сгущение, которое на ПА имеет голубой цвет. Наличие сгущений отмечено также в [13].

Маркарян 122 (SBb, s 3, 6553 км/с) — Ядро яркое и эвездообразное. На северо-западном конце яркой перемычки расположена самая яркая СА, от которой берет начало тонкий спиральный рукав. На нем выделяются три более слабые огущения. Все они имеют синий цвет.

Маркарян 161 (SBc; s 2e, 5940 км/c) — Ядро яркое и звездообразное. Спиральные рукава симметричны, причем у ядра они тоньше и только после четверти оборота вокрут ядра становятся толще. Эти утолщения отмечены Маркаряном как сгущения, имеющие значительный ультрафиолетовый континуум. Они на снимке 2.6-м телескопа имеют большие размеры и диффузный вид.

Маркарян 170 (SBc, ds 2e, 1060 км/c) — Галактика имеет вид прямолинейной полоски, в которой помимо ядра расположены четыре сгущения. Самое яркое и компактное из них — южное. СА № 1, будучи очень синим по оценкам на ПА, на снимке 2.6-м телескопа имеет довольно диффузный вид. СА № 2 находится вне вкваториальной плоскости галактики и как по цвету (CI = $+0^m$ 9), так и по виду мало отличается от звезды. Наличие у втой галактики сгущений отмечено в [14].

Маркарян 175 (SBb, ds 3e, 3750 км/с) — На концах перемычки симметрично относительно ядра расположены два больших диффузных сгущения, от которых берут начало туго скрученные спиральные рукава. Одно из втих стущений не внесено в наш список, т. к. имеет диффузный вид и большие размеры. На одном из рукавов имеется звездообразное сгущение очень красного цвета ($CI = +2.^m0$), которое, по-видимому, является звездой. В работе [13] отмечено наличие в втой галактике конденсаций.

Маркарян 181 (SBc, ds 3, 6170 км/c) — В перемычке расположены два ядра примерно одинаковой яркости. От концов перемычки берут начало туго закрученные спиральные рукава, причем южный рукав, в котором находятся обе СА, тонкий, северный же — диффузный и широкий.

Маркарян 183 (Sb, d 3e:, 12275 км/с) — Ядро эвездообразное. Спиральные рукава сильно отличаются друг от друга: один мощный, другой едва вырисовывается. Рукава сливаются, образуя кольцо. СА расположена на слабом рукаве и имеет довольно голубой цвет на ПА.

Маркарян 185 (SBc, sd 3, 3090 км/с) — Кольцеобразная галактика с звездообразным ядром. От кольца выходят тонкие спиральные рукава. СА имеются как в кольце, так и в спиральных рукавах. Находящиеся на кольце СА диффузные и имеют большие размеры.

Маркарян 186 (SBc, ds 1-е, 690 км/с) — Является галактикой с двойным ядром [2] и тремя СА, расположенными в ее вкваториальной плоскости. Северо-восточная СА не очень компактная и не связана с галактикой, СА, расположенные ближе к ядрам галактики, более компактные.

Маркарян 188 (SABc, sd 3, 2502 км/c) — Кольцеобразная галактика. Ядро довольно больших размеров и, возможно, состоит из отдельных сгущений. Из кольца берут начало три очень тонкие, широко раскрытые спиральные рукава. СА расположены как в кольце, так и в рукавах, в которых наблюдаются, по крайней мере, девять сгущений. Наличие слабых сгущений на одном из внешних рукавов отмечено Хакра [12].

Маркарян 207 (Sbc, ds 2e:, 4384 км/c)—Является галактикой с одним спиральным рукавом. Ядерная область имеет форму неправильного образования в виде трех интенсивных отростков, на продолжении одного из которых на западе находится яркое сгущение вытянутой диффузной формы. От него берет начало спиральный рукав, огибающий центральную часть на пол-оборота.

Маркарян 264 (SBc, ds 2e:, 18734 км/с) — На концах перемычки симметрично расположены по одному сгущению. Юго-восточное почти не отличается от звезды, северо-западное имеет довольно компактный вид, но отличается от звезды. От него берет начало один из спиральных рукавов.

Маркарян 281 (SBb, sd 2e, 2349 км/с) — Галактика с перемычкой и с тремя ядрами [2]. На концах перемычки, в начале спиральных рукавов расположены четыре СА. В рукавах также имеются более слабые сгущения, скорее всего, ассоциации.

Маркарян 288 (SBb, d 2, 7675 км/) — Галактика со звездообразным ядром, спиральные рукава которой по виду отличаются друг от друга. Южный рукав более резкий, северный — широкий и диффузный, в нем и расположена СА. На продолжении северного рукава, вне пределов галактики, имеются близко расположенные друг к другу два голубых сгущения, находящихся в диффузной полоске. Возможно, вто двухъядерная галактика.

Маркарян 307 (SBc, d 2e, 5721 км/c)—Галактика с ярким звездообразным ядром. Один из рукавов разветвляется на три прямолинейные ветви, на концах у двух расноложены по одной СА. Две СА расположены на

третьем разветвлении. Второй спиральный рукав менее интенсивный и на нем нет сгущений.

Маркарян 312 (Sc, d 3, 10095 км/с) — Галактика со слабым звездообразным ядром и с тремя рукавами. В двух северных рукавах имеется по одному довольно голубому сгущению. Южный рукав более диффузный, без сгущений.

Маркарян 319 (SBc, sd 2e, 8400 км/с) — Галактика с перемычкой и звездообразным ядром. Симметрично относительно ядра в спиральных рукавах расположены по одному диффузному сгущению больших размеров, удлиненной формы. На снимке, сделанном на 6-м телескопе, который воспроизведен на фотографии, каждое из удлиненных сгущений разрешается на два-три сгущения.

Маркарян 321 (Sc, sd 2e, 9805 км/с) — Раскрытая спиральная галактика с ярким звездообразным ядром. В галактике много сгущений, но только юго-западное и западное по яркости являются СА. Остальные являются ассоциациями и расположены дальше от ядра, чем СА. Ассоциации хорошо заметны также на снимке 6-м телескопа.

Маркарян 323 (Sc, sd 2, 4711 км/с) — Галактика с большим ядром; спиральные рукава которой плохо вырисовываются. В галактике много слабых сгущений, только одно из которых является СА. Оно мало уступает ядру по яркости.

Маркарян 332 (SBc, s 2, 2882 км/с) — Имеет необычную линзовидную перемычку со звездообразным ядром. Две самыю яркие СА расположены в одном рукаве, причем одна из них — в конце перемычки. В другом же рукаве, очерчивая спиральный рукав, расположены четыре сгущения, по яркости значительно уступающие первым двум.

Б:ораканская астрофизическая обсерватория Ереванский государственный университет

SUPERASSOCIATIONS IN SPIRAL GALAXIES WITH UV EXCESS. I

A. R. PETROSSIAN, K. A. SAHAKIAN, E. YE. KHACHIKIAN

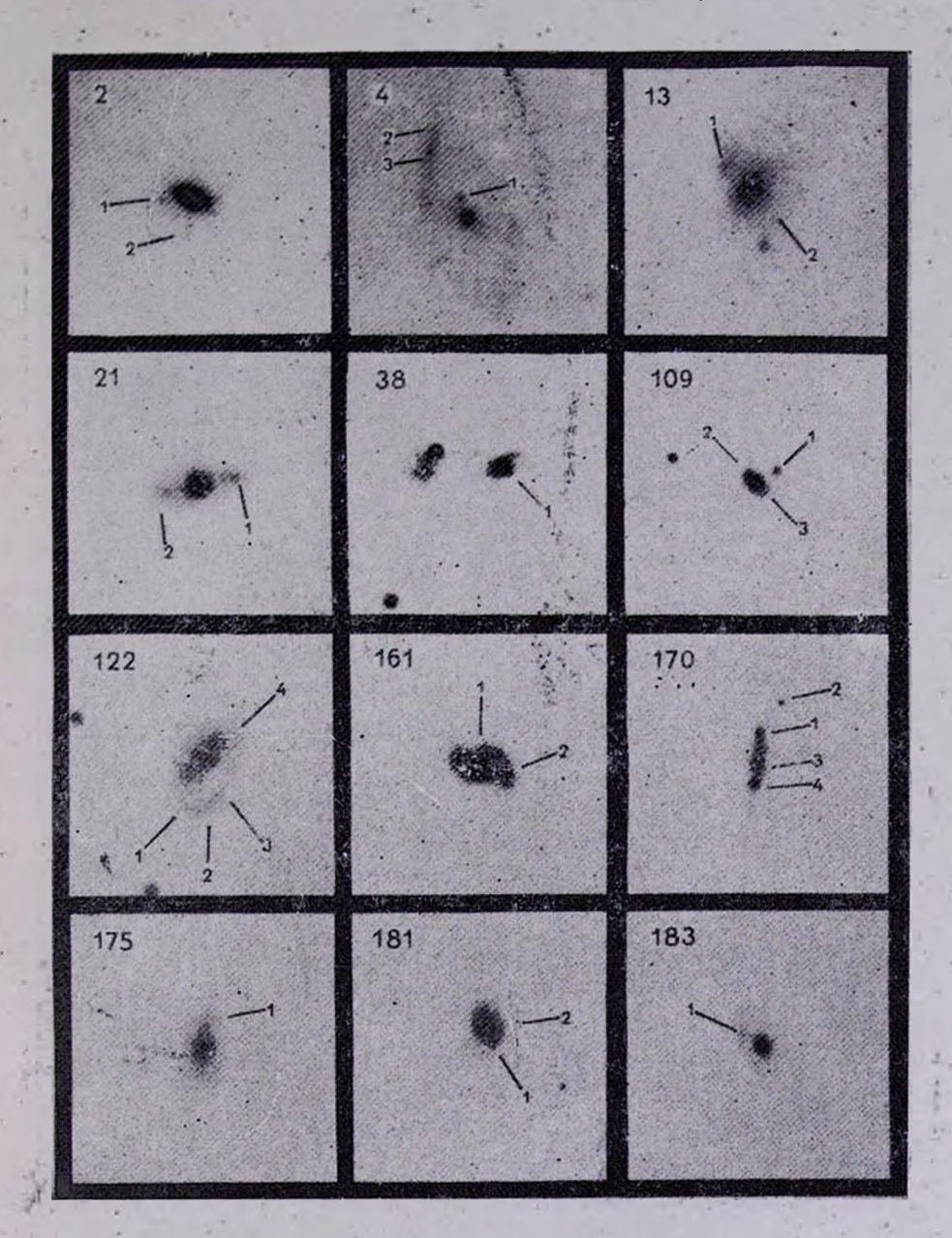
The results of morphological investigation of spiral galaxies with UV excess containing bright condensations-superassociations (SA) are given. The selection of galaxies was made from the first to fourteenth

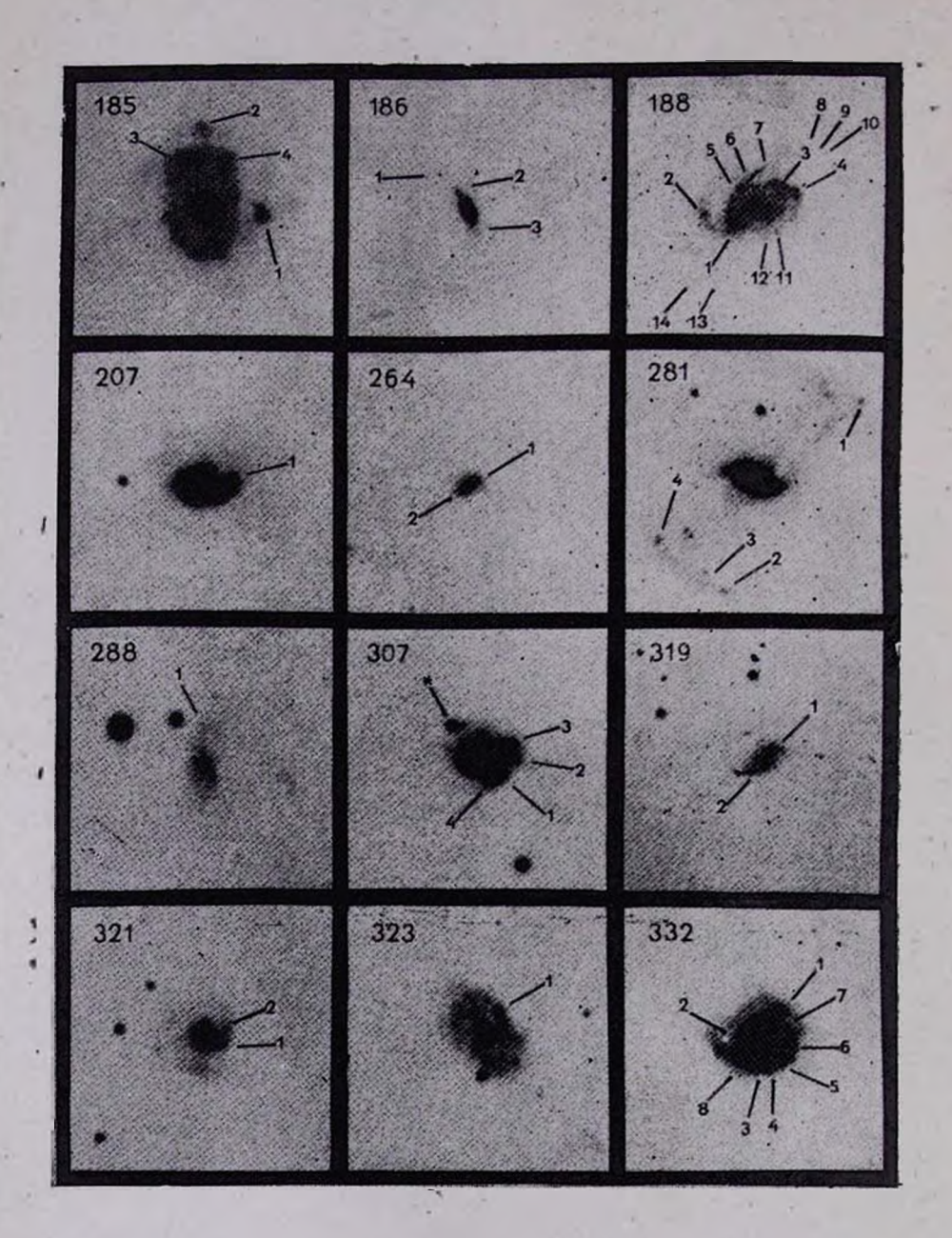
lists of objects with UV continuum on the basis of observational material obtained on 2.6 m and 0.5 m telescopes of the Byurakan Observatory. Altogether a sample of 56 galaxies are listed containing 151 SA. For the 26 galaxies out of 56 the reproductions and descriptions are presented. The dimensions and brightnesses of SA and nuclei are determined as well as the distances of SA from the centre are measured.

ЛИТЕРАТУРА

- 1. К. А. Саакян, Э. Е. Хачикян, Астрофизика, 11, 207. 1975.
- 2. А. Р. Петросян, К. А. Саакян, Э. Е. Хачикян, Астрофизика, 14, 69, 1978.
- 3. Ю. П. Коровяковский, А. Р. Петросян, К. А. Саакян, Э. Е. Хачикян, Астрофизика, 17, 231, 1981.
- 4. В. А. Амбарцумян, С. Г. Искударян, Р. К. Шахбазян, К. А. Саакян, Сообщ. Бюраканской обс., 33, 3, 1963.
- 5. M. J. Valtonen, P. Teerikorpi, A. N. Argue, A. J., 83, 135, 1978.
- 6. A. S. Sandage; Ap. J., 157, 515, 1969.
- 7. Б. А. Ворондов-Вельяминов, А. Красногорская, Морфологический каталог галактик, Труды ГАИШ, 32, 1962; Б. А. Ворондов-Вельяминов, В. П. Архипова, Морфологический каталог галактик, Труды ГАИШ, 33, 34, 38, 1963, 1964, 1968.
- 8. E. Ye. Khachikian, D. W. Weedman, Ap. J., 192, 581, 1974.
- 9. А. Т. Каллоглян, Астрофизика, 7, 521, 1971.
- 10. Ж. Айдман, А. Т. Каллоглян, Астрофизика, 9, 71, 1973.
- 11. Б. Е. Маркарян, Астрофизика, 3, 55, 1967.
- 12. J. P. Huchra, Thesis of Diss., Pasadena, 1977.
- 13. C. Casini, J. Heidmann, Astron. Astrophys. Suppl. ser., 34, 91, 1978.
- 14. Б. Е. Маркарян, Астрофизика, 5, 443, 1969.

ГАЛАКТИКИ С УФ-ИЗБЫТКОМ, СОДЕРЖАЩИЕ СА





К ст. А. Р. Петросяна и др.